

کنترل pH با استفاده از طراحی رویتگر مدل لغزشی و مقایسه آن با PI و GSPI

علیرضا رضائی*

ایران

استادیار، بخش مکاترونیک، گروه فناوری بین رشته‌ای، دانشکده علوم و فنون نوین، دانشگاه تهران، تهران،

علیرضا عابدینی مزرعه

دانشگاه تهران، تهران، ایران

چکیده

در این مقاله کنترل pH محلول کشت در یک راکتور آزمایشگاهی مدل نظر گرفته شده است. روند کنترل pH در این مقاله، به این صورت می‌باشد که یک نمونه اولیه از ترکیب جریان اسید و باز به طور مداوم در مخزن راکتور به نسبت‌های مناسب هم می‌شود و سپس با توجه به جدول بهره PEM معادله حالت pH به دست آورده شده و در ادامه با بهینه کردن ضرایب PI، کنترل گر PI کلاسیک قادر به کنترل کردن این فرایند نبوده، برای همین منظور از رویتگر حالت استفاده شده که با دقت بالا توانسته کنترل لازم را انجام دهد. رویتگر پیشنهادی، به دلیل طراحی بدون خطی‌سازی، متغیرهای حالت را با دقت بسیار بالایی تخمین می‌زند. در طراحی رویتگر غیرخطی، از مدل لغزشی استفاده شده است. این روش برای تخمین متغیرهای حالت سیستم‌های غیرخطی نامعین مناسب است؛ اما به دلیل رخداد چترینگ، کارایی آن بهشت کاهش می‌یابد. برای جلوگیری از چترینگ و همچنین برای افزایش دقت از نظریه مدل لغزشی مرتبه دوم فرایچش برای طراحی رویتگر غیرخطی استفاده شده است؛ در نهایت رویتگر غیرخطی با استفاده از نظریه مدل‌لغزشی طراحی و شبیه‌سازی گردیده است.

واژه‌های کلیدی: رویتگر، سیستم غیرخطی، پدیده چترینگ، مدل‌لغزشی مرتبه دوم، الگوریتم فرایچش.

PH control using sliding mode Observer design and Comparison with the PI and GSPI

A. Rezaee

Mechatronic engineering group, Faculty of new sciences and technologies, University of Tehran, Tehran, Iran.

A. Abedini

Master of student, Faculty of new sciences and technologies, University of Tehran, Tehran, Iran.

Abstract

In this paper, the pH control solution is considered in a laboratory reactor. A prototype of an acid and an open stream is continuously coupled to the reactor tank in an appropriate proportions is used for PH process control then, according to the PEM table, the equation of the pH state is obtained after that with Optimizing the PI coefficients, the PI controller is designed. The classic PI controller was not able to control this process, so the state-of-the-art observer was used, which was able to control with high precision. The proposed observer estimates state variables with extreme precision due to linear design. In the design of non-linear observation, sliding mode control is used. This method is suitable for estimating the state variables of the non-linear nonlinear systems, but due to the occurrence of chattering, its efficiency is greatly reduced. In order to prevent chattering and also to increase the accuracy, the second-order slip-off theory of the flicker is used to design non-linear observation. Finally, a nonlinear viewer is designed and simulated by using of modeling theory.

Keywords: Observer, Nonlinear system, Charting phenomenon, Second order slip mode, Polynomial algorithm.

دسترسی پیدا کرد. در این موارد برای پیداگاهی کنترل پسخور حالت، تخمین متغیرهای حالت الزامی است. سیستم دینامیکی که متغیرهای حالت آن تخمینی از متغیرهای حالت سیستم اصلی باشند را رویتگر می‌نامند. درواقع رویتگر سیستم دینامیکی است که ورودی‌های آن ورودی سیستم اصلی و خروجی آن، خروجی متغیرهای حالت را تخمین می‌زنند [۱] [۲]. به طور کلی در [۱] از یک PID جهت کنترل سیستم استفاده شده که نتایج نه چندان مطوبی را به همراه داشته است. همچنین در این مقاله جهت بهبود کار از میکسر دوگانه استفاده شده است. در [۳] کنترلی ترکیبی از PID و شبکه عصبی برای بهبود دقت و قدرت سیستم کنترل pH طراحی شده است. همچنین در [۴] یک

۱- مقدمه

در بسیاری از روش‌های کنترل خطی به تمامی متغیرهای حالت برای تولید سیگنال کنترلی نیاز است؛ اما در بسیاری از کاربردهای واقعی، اندازه‌گیری تمامی متغیرهای حالت امکان‌پذیر نبوده و یا از نظر اقتصادی مقرر به صرفه نیست. برای مثال ممکن است که متغیرهای حالت غیر فیزیکی باشند و یا اینکه به علت تعداد زیاد متغیرهای حالت، اندازه‌گیری تمامی آن‌ها بسیار دشوار باشد. در برخی شرایط ممکن است که به علت نویز فرآوان محیط، اندازه‌گیری‌های انجام شده برای استفاده در پسخور مناسب نیاشد. در تمامی این موارد و مواردی از این قبیل نمی‌توان به تمام متغیرهای حالت برای استفاده در پسخور

* نویسنده مکاتبه کننده، آدرس پست الکترونیکی: arrezaee@ut.ac.ir

تاریخ دریافت: ۹۵/۰۸/۲۶
تاریخ پذیرش: ۹۷/۱۱/۱۵

حسگر pH مبتنی بر گوشی هوشمند که قادر به اندازه گیری سطح آب آبی رنگی است، پیشنهاد شده است. معیارهای عملکردی مورد بررسی برای حسگر طراحی شده نشان دهنده دقت، صحت وضوح و رزولوشن بالا تا 0.12 pH یا بیشتر است. در این مقاله توانایی حسگر pH گوشی هوشمند را برای اندازه گیری تغییرات کوچک pH نمونه‌های مختلف محلول با دقت و وضوح خوبی نشان داده است. به دلیل اندازه کوچک، حسگر طراحی شده را می‌توان برای انتقال اطلاعات pH از جسم آب در هر محیطی استفاده کرد. فرآیند pH در یک مخزن ترکیب را می‌توان به دو قسمت دینامیکی و استاتیکی تقسیم کرد.

۲- مروری بر کنترل pH

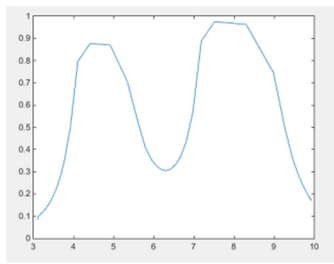
مرور نسبتاً جامعی بر چگونگی روش‌های کنترل حلقه-باز، کنترل پیشخور کنترل پسخور، کنترل غیرخطی، کنترل تطبیقی، کنترل مبتنی بر مدل و کنترل غیر مبتنی بر مدل برای فرآیند pH در [۹-۷] آمده است. در آنها ذکر شده که کنترل کننده‌های کلاسیک PID دارای پارامترهای ثابت کنترل کننده‌های معمولی برای کنترل pH مستند و این مساله بدیهی است، چرا که فرآیندهای صنعتی اکثرا دارای تغییرات کم pH مستند و تقریباً خطی هستند، اما بخش قابل توجهی از فرآیندهای pH سخت هستند که نظریه‌های کنترل پیشرفتی برای آنها سودمند است. از آنجایی که نامتفاوتی‌های واکنش به طوری روی خط قابل اندازه گیری نمی‌باشند و سیستم خطی شده رؤیت ناپذیر است، یک رؤیت‌گر حلقه باز در کنار کنترل کننده خطی ساز ورودی-خروجی قرار می‌گیرد. کنترل کننده‌های غیرخطی "backstepping" به صورت کنترل کننده‌های تطبیقی غیرمستقیم برای مدل‌های غیرخطی مبتنی بر نامتفاوتی‌های واکنش در [۱۰-۱۲] طراحی شده‌اند. مرجع [۱۳] روش شناسایی پسخور رله‌ای را برای تنظیم پارامترهای کنترل کننده PI به صورت آزمایشگاهی تست کرده است. با روشی مشابه، [۱۴] با شناسایی منحنی تتراسیون فرآیند پارامترهای کنترل کننده PI را برای دستگاه آزمایشگاهی تعیین می‌کند. مرجع [۱۵] ضمن معرفی کامل فرآیندهای pH چند-تائمه بیان می‌کند که برای سیستم‌های اسید-بازقوی با محدوده گسترده pH استفاده از چند تانک با حجم و دبی مناسب کنترل کننده‌های PI- یا PID محلی را کنترل کننده‌های مناسب می‌سازد [۱۶، ۱۷]. البته کنترل کننده PID کلاسیک را یک کنترل کننده پایه و البته ضعیف برای کنترل pH به عنوان یک "سیستم تست نمونه"^۱ معرفی می‌کند.

۳- بیان مساله

در این مقاله مستله طراحی رویتگر غیرخطی با استفاده از ایدهی مد لغزشی مرتبه دوم در کنترل فرآیند شیمیایی مدنظر قرار می‌گیرد. [۱۸، ۱۹] روش ارائه شده در این پژوهه در یک مثال شبیه‌سازی برای تخمین متغیرهای حالت و نامعینی مورد ارزیابی قرار می‌گیرد و در نهایت فرآیند pH با تکنیک‌های حلقه بسته مختلف کنترل شده است. در جدول ۱ اطلاعات موجود در بانک اطلاعات pH می‌باشد که

مدل‌سازی فرآیند آن در PEM آمده است. با استفاده از این جدول معادله حالت به دست آمده است. باید به این مستله توجه کرد در ناحیه‌هایی که بهره سیستم بالا است تغییر ارتفاع کمتر می‌باشد و لذا تغییر قطب مدل نیز کمتر خواهد بود که با توجه به روابط نظریه داده شده به راحتی قابل توجیه است. با مقایسه بهره استاتیک مدل‌ها در حالت نامی و حالت اغتشاشی^۴ (در نمودار شکل ۱ که دبی قطع می‌شود) می‌توان به یافته قبلی صحه گذاشت که بهره استاتیک یا رفتار غیرخطی سیستم با تغییر دبی جریان بافر به شدت تغییر می‌کند؛ اما در حالت اغتشاشی^۶ که مقدار دبی جریان اسید ورودی تغییر کرده است، معادله دینامیکی pH به صورت معادله (۱) می‌باشد که در آن برای تخمین مقدار K از جدول ۱ استفاده شده است. در شکل ۱ مقدار مختلف بهره در pH می‌باشد از جدول ۱ به دست آمده است.

$$G(s) = \frac{Ke^{-Ts}}{\tau s + 1} \quad (1)$$



شکل ۱- نمودار حاصل از مدل‌سازی جدول ارائه شده در PEM

تأخر موجود در مدل کلی pH باعث شده تا نتوان مقدار pH را به صورت دقیق در هر لحظه داشت، برای کاهش تأثیر تأخیر، از رویتگر غیرخطی مدل لغزشی استفاده شده است. برای مدل‌سازی فضای حالت سیستم از تقریب مرتبه اول پاده^۲ تأخیر استفاده شده است.

بنابراین معادله حالت سیستم را می‌توان به صورت زیر نوشت:

$$\begin{cases} \dot{x} = Ax + Bu + Df(x, w) \\ y = Cx \end{cases} \quad (2)$$

که در آن $f(x, w)$ تابعی مربوط به عدم قطعیت‌های مدل و تأثیرات اغتشاش در خروجی است که باندی برای آن وجود دارد ($f_0 < |f| < f_1$) با این توضیحات ماتریس‌های حالت به صورت زیر است.

$$A = \begin{bmatrix} 1/T & -1/T \\ 0 & -1/\tau \end{bmatrix}, B = \begin{bmatrix} 0 \\ K/\tau \end{bmatrix}, D = \begin{bmatrix} 1 \\ 0 \end{bmatrix}, C = \begin{bmatrix} 1 & 0 \end{bmatrix} \quad (3)$$

۴- طراحی رویتگر مد لغزشی

در این بخش طراحی رویتگر با استفاده از نظریه‌های مد لغزشی ارائه می‌گردد. برای سیستم ۱ ساختار معادله ۴ به عنوان رویتگر غیرخطی مد لغزشی در نظر گرفته می‌شود:

² Pade

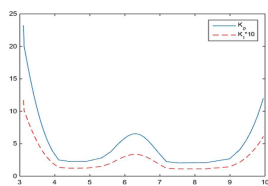
¹ Benchmark

استفاده از این توابع می‌تواند خطای ایجاد کند که با انتخاب شبیه مناسب می‌توان تا حد زیادی مشکل را حل کرد.

۵- طراحی کنترل کننده

در این مقاله از کنترل کننده PI با زمان بندی بهره‌های کنترل مؤثر در تمام دامنه کنترل استفاده شده است. برای هر نقطه کار ضرایب مناسب برای PI به دست آمده و از برازش بین این نقاط بهره‌های P و I به دست آمده است. برای مقایسه کارایی سیستم نتایج با کنترل کننده متداول و نیز PI با جدول بندی بهره (که پسخور از خروجی سیستم متداول و نیز PI) مقایسه شده است.

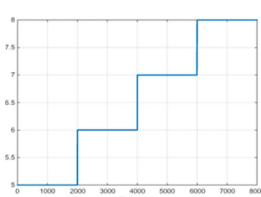
سیگنال مرجع اعمالی به سیستم برای دنبال کردن سیستم در شکل ۲ نشان داده شده است. سیگنال طوری انتخاب شده است که محدوده وسیعی از ناحیه کاری پوشش داده شود تا عملکرد کنترل کننده غیرخطی در نقاط کاری مختلف محک زده شود. برای اینکه بتوان نشان داد که رویتگر طراحی شده قادر به کنترل دبی جریان ورودی می‌باشد، مقدار جریان به ورودی سیستم (دبی جریان ورودی) به صورت سیگنال شکل ۳ اعمال شد.



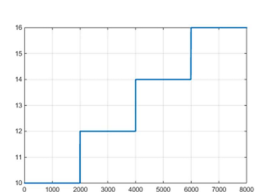
شکل ۲- منحنی مقادیر ضرایب کنترل کننده PI برای نقاط مختلف کاری. K_p (منحنی آبی) و K_n (منحنی قرمز) مقیاس یافته به مقدار 10 برابر (منحنی

$$\text{rank}(CD) = 1$$

خطچین قرمز)



شکل ۳- سیگنال مرجع اعمالی pH به سیستم برای دنبال کردن سیستم



شکل ۴- سیگنال وارد شده به جریان ورودی

$$\begin{cases} \dot{x} = Ax + Bu - G_l(y - \hat{y}) + G_nv \\ \hat{y} = \hat{x}_1 \end{cases} \quad (4)$$

جدول ۱- اطلاعات موجود در بانک اطلاعات pH که مدل سازی محلی فرآیند pH در PEM بر اساس آن به دست آمده

Input	Output pH	Gain
5	3.10388 2322	0.05450 5555
6.125	3.20148 2928	0.1126
6.5	3.24370 7918	0.12066 7
6.875	3.28895 7879	0.13028 8
8.75	3.59071 9263	0.23398
9.125	3.67846 173	0.28333 2
9.5	3.78471 1309	0.36119 6
9.875	3.92015 9754	0.50037 3
10.25	4.10779 9789	0.79719 8
10.625	4.40674 8987	1.33524 9
11	4.90746 7386	1.15086 2
13.625	6.31670 8115	0.30523 7

که در آن G_l و G_n به طور مناسبی انتخاب می‌شوند.
شرایط زیر باید برقرار باشد تا رویتگر فوق همگرا شود:

صفرهای تغییرناپذیر (D, A, C, D) سمت چپ محور موهومی قرار گیرند.

برای سیستم کنترل pH شرایط فوق برقرار است.
با توجه به پیشنهاد [۱۳-۱۹] با انتخاب

$$G_l = \begin{bmatrix} 1 & \\ T & -a_{ss} \\ 0 & \end{bmatrix}, \quad G_n = \begin{bmatrix} 1 \\ 0 \end{bmatrix} \quad (5)$$

$$\text{که } a_{ss} > 0 \text{ بنا بر این دینامیک خطاب به صورت زیر نوشتہ می‌شود:}$$

$$\begin{cases} \dot{e} = (A - G_l C)e + D(f - v) \\ e = x - \hat{x} \end{cases} \quad (6)$$

که در آن v عبارت است از:

$$v = \begin{cases} \rho \frac{e_y}{\|e_y\|}, & e_y \neq 0 \\ 0, & e_y = 0 \end{cases} \quad (7)$$

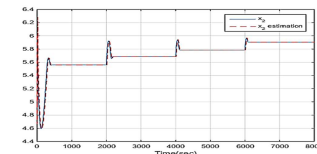
باید شرط زیر را برآورده سازد.

$$\rho > f_0 \quad (8)$$

که در اینجا f_0 پهنه‌ای باند می‌باشد. در این حالت با وجود عدم قطعیت‌های احتمالی سیستم رویتگر پایدار بوده و حالات‌های رویتگر در زمان محدود به حالات‌های سیستم (۲) خواهد رسید. برای کم کردن چترینگ در تخمین می‌توان از فرمتهای نرم‌تری به جای تابع علامت رابطه (۷) استفاده کرد، مانند تابع اشباع و یا تائزه‌انت معکوس. ولی

¹ Gain Scheduled PI

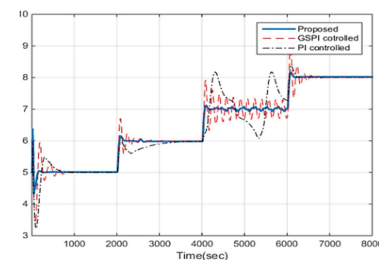
تخمین حالت x_2 pH بدون تأخیر) در شکل (۴) نشان داده شده است. همان‌گونه که مشخص است روینگر غیرخطی توانسته در نقاط مختلف کاری به خوبی حالت را دنبال بکند.



شکل ۵- تخمین حالت x_2 به وسیله روینگر خطی

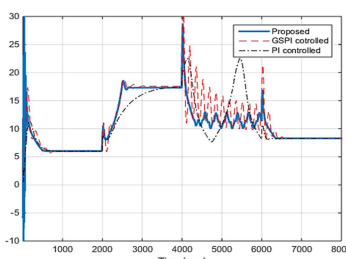
۶- نتایج شبیه‌سازی روینگر پیشنهادی

در این بخش نمودارهای کنترلی هر سه کنترل‌گر نمایش داده می‌شود. سیگنال شکل (۲) به عنوان سیگنال خروجی مرجع می‌باشد که در این بخش نشان داده می‌شود که کنترل‌گر طراحی شده به خوبی قادر به کنترل می‌باشد.



شکل ۶- خروجی سیستم pH اندازه‌گیری شده

با توجه به شکل ۶ مشاهده می‌شود که GSPI توانسته نسبت به PI با دقت بالاتری کنترل کند ولی در pH برابر ۷ دچار نوسان شده و به پایداری نرسیده است در حالی که روینگر مد لغزشی طراحی شده توانسته علاوه بر اینکه نسبت به GSPI در قسمت‌های مختلف کنترل کند در pH برابر ۷ به حالت پایداری رسیده و به خوبی کنترل کرده است. سیگنال کنترلی اعمالی به سیستم برای هر سه کنترل کننده در شکل ۷ نشان داده شده است.



شکل ۷- سیگنال کنترلی اعمالی به سیستم برای هر سه کنترل کننده

در نمودار شکل ۷ مشاهده می‌شود که سیگنال کنترل‌گر PI و GSPI علاوه بر اینکه نتوانسته کنترل کند دارای نوسانات شدید بوده و نسبت به نویز حساسیت بالایی داشته است؛ همچنین سیگنال کنترلی کنترل‌گر طراحی شده دارای نوسانات کم بوده و نسبت به کنترل‌گرهای

دیگر دارای نوسانات کمتر می‌باشد.

۷- نتیجه گیری

به دلیل وجود فاز تاخیر در کنترل pH کنترل‌گرهای کلاسیک از جمله PI قادر به کنترل pH نمی‌باشند به همین دلیل برای رفع قسمت تاخیر معادله دینامیکی pH از رویتگر مناسب استفاده شده است. در این مقاله روینگر غیرخطی با استفاده از نظریه مد لغزشی طراحی و شبیه‌سازی گردید. روینگر مد لغزشی پیشنهادی به دلیل اینکه بدون خطی سازی طراحی شده، متغیرهای حالت را با دقت بسیار بالایی تخمین می‌زند. با توجه به جدول بهره و معادله دینامیکی pH کنترل‌گر GSPI و PI نشان داده شده است که GSPI توانسته نسبت به کنترل‌گر PI کنترل کند ولی در pH برابر ۷ دچار نوسان می‌باشد و این دو کنترل‌گر قادر به کنترل pH نبوده که با کنترل‌گر طراحی شده به خوبی کنترل کرده و سیگنال کنترلی آن نسبت به PI و GSPI دچار نوسان کمتری می‌باشد.

۸- مراجع

- [۱] خاکی صدیق ع., سیستمهای کنترل غیر خطی، انتشارات دانشگاه پیام نور، ۱۳۸۶.
- [۲] خاکی صدیق ع., اصول کنترل مدرن، انتشارات دانشگاه تهران، ۱۳۸۸.
- [۳] Lu A. E., Paulson J. A., and Braatz R. D., pH and conductivity control in an integrated biomanufacturing plant, in *American Control Conference (ACC)*, 2016, pp. 1741-1746, 2016.
- [۴] Shinskey F. G., pH and pION control in process and waste streams: *John Wiley & Sons Inc.*, 1973.
- [۵] Yang Y. and Wu Q., A neural network PID control for PH neutralization process, in *Control Conference (CCC)*, 35th Chinese, pp. 3480-3483, 2016.
- [۶] Harl N. and Balakrishnan S., Impact time and angle guidance with sliding mode control, *IEEE Transactions on Control Systems Technology*, Vol. 20, No.1, pp. 1436-1449, 2013.
- [۷] Li X. R. and Bar-Shalom Y., Design of an interacting multiple model algorithm for air traffic control tracking, *Control Systems Technology*, Vol. 1, No.2, pp. 186-194, 1993.
- [۸] Rezaee A. and Pajohesh M., Suspension System Control with Fuzzy Logic, *Journal of Communications Technology, Electronics and Computer Science*, Vol. 6, No.3, pp. 1-5, 2016.
- [۹] Rezaee A. and Shekalgourabi F. J., Improving the performance of PID controllers by using evolutionary algorithm, *Asian Journal of Mathematics and Computer Research*, Vol. 8, No.3, pp. 82-91, 2016.
- [۱۰] Kang T.-S., Yoon T.-W., Yang D. R., and Yoon S.-S., Adaptive output feedback nonlinear control of a pH process with an input constraint, , 2000. *Proceedings of 39th IEEE Conference on in Decision and Control*, pp. 4538-4543, 2000.
- [۱۱] Yoon S.-S., Yoon T.-W., Yang D. R. and Kang T.-S., Indirect adaptive nonlinear control of a pH process, *Computers & chemical engineering*, Vol. 26, No.2, pp. 1223-1230, 2002.
- [۱۲] Lee T. C., Yang D. R., Lee K. S. and Yoon T.-W., Indirect adaptive backstepping control of a pH neutralization process based on recursive prediction

error method for combined state and parameter estimation, *Industrial & engineering chemistry research*, Vol. 40, pp. 4102-4110, 2001.

- [13] Sung S. W. and Lee I.-B., pH control using a simple set point change, *Industrial & engineering chemistry research*, Vol. 34, No.6, pp. 1730-1734, 1995.
- [14] Chan H.-C. and Yu C.-C., Autotuning of gain-scheduled pH control: an experimental study, *Industrial & engineering chemistry research*, Vol. 34, No.4, pp. 1718-1729, 1995.
- [15] Sung S. W., Lee I.-B., and Yang D. R., pH Control Using an Identification Reactor, *Industrial & Engineering Chemistry Research*, Vol. 34, No.3, pp. 2418-2426, 1995.
- [16] Faanes A. and Skogestad S., pH-neutralization: Integrated process and control design, *Computers & chemical engineering*, Vol. 28, No.4, pp. 1475-1487, 2004.
- [17] Saadat A., Alvanagh A., and Rezaei H., pH control in biological process using MMPC based on neuro-fuzzy model by LOLIMOT algorithm, in *Control Conference (ASCC), 2013 9th Asian*, pp. 1-6, 2013.
- [18] Alvarez H., Londoño C., Sciascio F. di, and Carelli R., pH neutralization process as a benchmark for testing nonlinear controllers, *Industrial & engineering chemistry research*, Vol.40, No.3, pp. 2467-2473, 2001.
- [19] Edwards C., Spurgeon S. K., and Patton R. J., Sliding mode observers for fault detection and isolation, *Automatica*, Vol. 36, No.4, pp. 541-553, 2000.